

УДК 620.182:621.789

К.П.АРЕФЬЕВ, В.П.НЕСТЕРЕНКО, А.С.СУРКОВ, А.В.ВОДОПЬЯНОВ, Е.В.БЕЛИКОВ

ИССЛЕДОВАНИЕ СТРУКТУРНЫХ СВОЙСТВ ИНСТРУМЕНТАЛЬНЫХ МАТЕРИАЛОВ МЕТОДОМ ЭЛЕКТРОННО-ПОЗИТРОННОЙ АНИГИЛЯЦИИ

Исследовался спектр времени жизни позитронов на поверхности и в приповерхностной структуре быстрорежущей стали Р6М5 с различными вариантами термической обработки. Установлена связь между параметрами аннигиляции позитронов и эксплуатационными характеристиками режущего инструмента.

Введение

Достоверное прогнозирование эксплуатационных свойств режущих инструментов является одной из основных проблем в машиностроительной индустрии. Известны различные подходы в контроле важнейших электрофизических и механохимических характеристик инструментальной стали, твердых сплавов, минералокерамики, которые в большей или меньшей степени позволяют ответить на вопрос о вероятном характере разрушения и продолжительности срока службы режущего инструмента.

Широкое использование в оценке качества инструментальной продукции нашли магнитные, электрические, тепловые, механические и другие средства контроля. Так, на основе указанных принципов контроля можно измерить твердость, вязкость разрушения, температуропроводность, удельную электропроводность, намагниченность насыщения, коэрцитивную силу, максимальную магнитную проницаемость и др. Располагая указанной информацией, можно составить представление о структурном и фазовом строении инструментального материала и с определенной достоверностью сделать заключение об ожидаемых эксплуатационных свойствах. Однако, как показывает опыт металлообрабатывающей промышленности, прогноз важнейших рабочих характеристик, определяющих продолжительность срока службы и качество выпускаемой продукции, выполняется только отчасти. Такое положение технического контроля является весьма неудовлетворительным и требует поиска и разработки более совершенных методов, позволяющих значительно надежнее устанавливать функциональную или в крайнем случае тесную корреляционную связь между изменениями величины контролируемого параметра и рабочими свойствами режущего инструмента. С помощью электронно-позитронной спектроскопии нами были проведены исследования особенностей структурного состояния быстрорежущей стали, подвергнутой различным вариантам термической обработки, и проделана попытка связать трансформацию строения и свойств составляющих материал химических элементов, твердых растворов и карбидных соединений с изменением износстойкости режущих инструментов.

Методика эксперимента

Для определения времени жизни позитронов приготавливались образцы из быстрорежущей стали, имеющие цилиндрическую форму с размерами диаметра 20 мм и высотой 8 мм. Величина микрорельефа исследуемой поверхности выдерживалась постоянной и составляла $R_z = 20_0^{+5}$ мкм. После проведения операции термической обработки образцы подвергались сначала предварительной, а затем и окончательной химической очистке. Последняя осуществлялась при ультразвуковой обработке в специальных моющих средах на автоматической линии. Измерение времени жизни позитронов осуществлялось на электрон-позитронном спектрометре с использованием радионуклидного источника натрий-22 активностью приблизительно $3,7 \cdot 10^5$ Бк. Временное разрешение аннигиляционной установки составляло 210 пс на шкале 50 нс. Расчет параметров временного распределения осуществлялся по программе pozitronfit «Resolution». Испытания на износстойкость и прочность сверл, изготовленных из той же партии стали, что и образцы, и получивших такую же, как и они, термическую обработку, производили на вертикально-сверлильном станке модели 2Н135. Сверление производилось без охлаждения и с охлаждением: в качестве смазочно-охлаждающей среды применялся 5%-й водный раствор эмульсона. Стойкостные испытания режущих инструментов производились при сверлении глухих и сквозных отверстий в заготовках из

конструкционной стали общего назначения марки 45 и хромоникелевой коррозионно-стойкой стали 12Х18Н10Т. Сверла из быстрорежущей стали Р6М5 имели винтовую заднюю поверхность и следующие геометрические параметры: угол при вершине сверла 120°, передний угол 30°, задний угол 10°, шероховатость поверхности режущего клина составляла 20⁺⁵ мкм. Скорость резания изменялась от 10 до 40 м/мин. Скорость движения подачи сверла равнялась 0,2 мм/об. При испытаниях использовались сверла диаметром 6,8 мм.

Обсуждение результатов исследования

Известно, что между износостойкостью режущих инструментов, изготовленных из быстрорежущей стали и магнитными свойствами, такими, как коэрцитивная сила, остаточная магнитная индукция, максимальная магнитная проницаемость, намагниченность насыщения, характеризующими количественное содержание в структуре инструментального материала ферромагнитной фазы, существует корреляционная связь. Это обусловлено тем, что сопротивление изнашиванию у стальных инструментов пропорционально объему, образовавшемуся в процессе закалки и дополнительного отпуска, мартенсита – пересыщенному твердому раствору углерода в α-железе, обладающем магнитными свойствами. С помощью магнитных методов можно определить примерную температуру закалки, отпуска, продолжительность этих операций. Однако ошибка в определении параметров термической обработки может значительно увеличиться, если в стали имеется одна или несколько карбидных фаз различного объема или разной степени намагниченности насыщения. Это, в частности, характерно для быстрорежущих сталей с высоким содержанием ванадия и других легирующих элементов. В наибольшей мере точность магнитного метода снижается для отпущененной стали, если в присутствии избыточных парамагнитных карбидов легирующих элементов выделяется промежуточный ферромагнитный карбид. Происходящее при этом уменьшение концентрации углерода, увеличивающее намагниченность насыщения, например, после отпуска, часто неправильно можно принять за распад аустенита [1].

Насыщение аустенитного зерна углеродом при растворении в нем сложных карбидов состава M₂₃C, M₆C, MC и других, сопровождается, после закалки, возрастанием удельного электросопротивления стали. При этом наибольшее удельное сопротивление имеет инструментальный материал, подвергающийся закалке с максимально допустимой температурой. Этот факт свидетельствует о предельной степени насыщения аустенитного зерна углеродом и легирующими элементами. С увеличением температуры и количества циклов отпускных операций происходит увеличение выделений карбидов из мартенситной матрицы. Последнее приводит к некоторому снижению электросопротивления. Между изменениями электрических параметров быстрорежущих сталей и их структурой, а также, износостойкостью режущих инструментов, как показывают многочисленные исследования, прослеживается ограниченная корреляционная связь. Так, например, установлена тенденция к увеличению износостойкости режущего инструмента при сверлении конструкционной стали сверлами, закаленными с более высоких температур, по сравнению со стандартными. Просматривается также в данном случае преимущество отпуска, производимого при менее низких температурах и количестве циклов. При резании хромоникелевых сталей, наоборот, для увеличения износостойкости необходимо проведение закалки сверл с температурой несколько более низких по сравнению с установленными. Отпуск, проводимый при повышенных температурах, также благоприятно оказывается в данном случае на структурном состоянии инструментального материала, предназначенного для резания этих сталей.

Между структурой инструментального материала, теплопроводностью и износостойкостью прослеживается примерно такая же связь, как и при использовании метода электропроводности. С увеличением теплопроводности износостойкость инструментов при резании менее теплопроводных обрабатываемых материалов возрастает. При увеличении в твердом растворе углерода и легирующих элементов теплопроводность снижается. Однако с увеличением температуры и количества последующих отпусков она возрастает. Для быстрорежущей стали наблюдается возрастание теплопроводности с повышением температуры отпуска в некоторых рабочих пределах, не вызывающих значительного снижения легированности α-раствора. В связи с этим количественной зависимости между теплопроводностью, электропроводностью и состоянием структуры не наблюдается, а поэтому трудно прогнозировать эксплуатационные свойства режущих инструментов.

С увеличением твердости снижается вероятность смятия режущей кромки вследствие действия на нее высоких контактных механических и тепловых напряжений. Однако при чрезмерном

повышении твердости инструментального материала снижается его вязкость. При недостаточной вязкости возрастает опасность хрупкого разрушения режущего инструмента, особенно в условиях действия значительных динамических нагрузок. Вследствие этого для обеспечения приемлемых эксплуатационных характеристик необходимо оптимальное сочетание твердости и вязкости. При резании конкретных материалов происходит преимущественное проявление определенного вида износа и, в связи с этим, требуется получить в процессе закалки и отпуска структуру с повышенной твердостью и вязкостью, в большей степени создающих противодействие деструктивным процессам при износе режущего клина. Поэтому прогнозирование износостойкости быстрорежущих инструментов, путем измерения только их твердости, является очень неточным. С помощью измерения твердости можно дать только ответ о том, работоспособен инструмент или нет.

Имеется множество исследований, в которых предпринимались попытки с помощью метода электрон-позитронной спектроскопии связать структурное состояние материалов с их физико-механическими характеристиками. Для быстрорежущей инструментальной стали чрезвычайно важным при термической обработке является правильный выбор температур закалки и отжига-отпуска. Только оптимальная температура закалки обеспечивает получение структуры и состава мартенсита, гарантирующего после дополнительного отпуска максимально возможную износостойкость режущего инструмента. Известно, что дефектность структуры инструментальной стали достаточно высокая. Так, плотность дислокаций в мартенситной матрице составляет 10^{-11} см^{-2} , а в карбидной структуре – 10^{-8} см^{-2} . В процессе термической обработки происходит количественное и качественное перераспределение дефектов вакансационного типа в отдельных структурных компонентах стали. Исследования структуры инструментальной стали позволяют получить информацию об электронной плотности вблизи дефектов у отдельных фаз и соединений. Принятая стратегия обработки полученных данных существенно сказывается на последующее установление степени тесноты корреляционной связи между временем жизни и износостойкостью режущего инструмента. Мы считаем, что износостойкость режущего инструмента зависит не только от интегральной концентрации вакансационных дефектов, но, и в еще большей мере, от качественного распределения дефектов на группы, по величине энергии их образования и скорости миграции. Энергетическое состояние отдельных вакансий и вакансационных комплексов с высоким уровнем соответствия отражают структурное строение инструментального материала. При обработке результатов исследования времени жизни позитронов применялась двухкомпонентная модель захвата. Спектр среднего времени жизни позитронов τ_0 для быстрорежущей стали раскладывали на 2 компонента. Короткоживущий компонент τ_1 соответствует захвату позитронов вакансиями и дислокациями, а долгоживущий τ_2 – аннигиляции позитронов в вакансационных комплексах и микропорах.

На рис. 1 представлены графики зависимости времени жизни позитронов от величины температуры закалки стали Р6М5. С увеличением температуры нагрева перлитная структура стали пре-

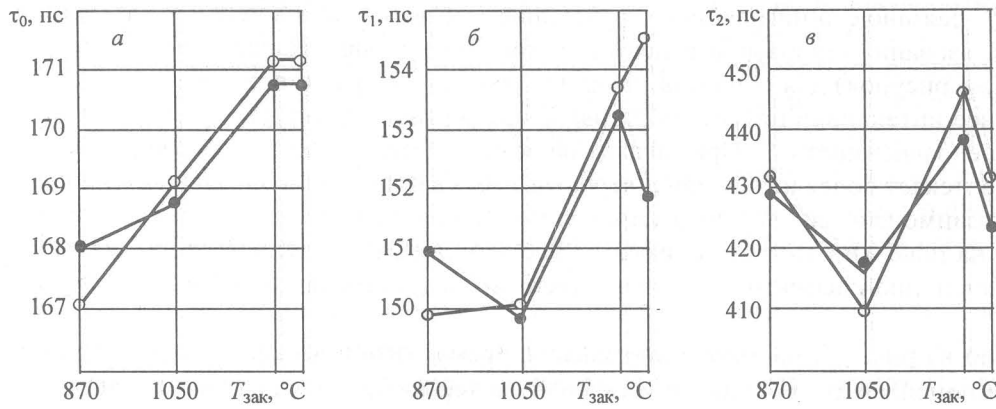


Рис. 1. Изменение времени жизни позитронов в зависимости от температуры закалки (сталь Р6М5):
а – среднее время жизни τ_0 ; б – время жизни позитронов при аннигиляции на вакансиях и дислокациях τ_1 ; в – время жизни позитронов при аннигиляции на вакансационных комплексах и мелких порах τ_2 . ○ – закалка в открытой атмосфере; ● – закалка в соляной ванне

вращается в аустенитную. При температуре, близкой к 1300°C , почти весь углерод и легирующие элементы растворяются в аустените – твердом растворе углерода в γ -железе. Часть аустенита, образовавшегося в структуре при нагревании стали до некоторой температуры, в процессе закалки,

превращается в мартенсит – пересыщенный твердый раствор углерода в α -железе, другая – меньшая часть – остается непревращенной. Твердость, упругость, прочность, вязкость, теплостойкость и другие важнейшие свойства мартенсита – основной структурной составляющей части инструментальной стали – определяются количеством растворившегося в аустените углерода и легирующих элементов. С увеличением температуры закалки степень растворимости углерода и легирующих элементов в γ -железе возрастает. Параллельно с этим увеличивается количество непрекращенного аустенита в результате закалки. Объектами аннигиляции позитронов, на наш взгляд, в структуре, непрерывно превращающейся в зависимости от температуры закалки, могут быть: мартенсит, аустенит, карбидные сегрегации, межфазные границы.

Структурное состояние компонентов стали характеризуется определённой степенью дефектности – наличием вакансий, дивакансий, пор, дислокаций. Чувствительность способа контроля с помощью позитронной спектроскопии к изменению степени вакансационной дефектности в объекте проявляется при 10^{-7} вакансий на атом и достигает положения насыщения при 10^{-3} вакансий. Эти концентрации достигаются вследствие появления тепловых вакансий в стали при нагревании её до соответствующих температур аустенизации и, вакансий, которые формируются в ходе микропластической деформации, вследствие мартенситных превращений. В процессе закалки происходит «замораживание» состояния высокой концентрации структурной дефектности. Энталпия образования вакансий в различных структурных составляющих инструментальной стали существенно различаются. Наиболее низкая теплота образования вакансий в низколегированных карбидах. В высоколегированных карбидах $M_{23}C$, M_7C_3 , M_6C , MC , где кроме железа присутствуют в большом количестве атомы вольфрама, молибдена, хрома, ванадия, энталпия образования тепловых вакансий существенно выше. Это также подтверждается косвенным образом – наличием у рассматриваемых соединений низких значений параметров диффузии и самодиффузии атомов [1]. При термической обработке стали происходит процесс фазового превращения со сменой типа кристаллической решётки. С увеличением температуры нагрева под закалку и, соответственно, с ростом количества растворившегося в аустените углерода и легирующих элементов степень искажения мартенситной решётки возрастает. В ней формируется структура с высоким уровнем содержания закалочных вакансий и плотностью дислокаций. Часть тепловых вакансий, которые находились в зоне интенсивных превращений, залечивается, другая часть вместе с возникающими вследствие фазового перехода образует общий ансамбль дефектного состояния инструментального материала. Из рис. 1,а видно, что среднее время жизни позитронов в структуре стали с увеличением температуры закалки возрастает и достигает при достаточно высоких температурах своего насыщения. При этом соответственно увеличивается степень вакансационной дефектности образующегося мартенсита, его тетрагональность. Закалка с температурой 1225°C дает наибольшую степень искажения мартенситной решётки. Формирование дефектности при температурах нагрева под закалку от 870 до 1050°C связано с аннигиляцией структурных несовершенств в перлите, на границах зерен и с началом образования тепловых вакансий в аустенитных зёрнах. Нарастание величины дефектности (см. тот же рисунок) для образцов, закаливаемых на воздухе и в соляной ванне, является различным. Менее интенсивно процесс образования дефектной структуры происходит при закалке в соляной ванне (зависимость 1). При закалке на воздухе (зависимость 2) формирование дефектной структуры протекает более интенсивно; вероятно, это связано с окислительными процессами и характеризует взаимодействие поверхностных атомов с атомами элементов окружающей среды. Образующиеся на поверхности окислы имеют высокую степень нестехиометрии, проявляющуюся в наличии вакансационной дефектности с существенным недостатком атомов в металлической подрешётке [2].

Как видно из рис. 1,б, на этом этапе закалки время жизни позитронов, выраженное короткоживущей компонентой τ_1 , для одного из вариантов термообработки остаётся почти неизменным, что указывает на установившийся баланс кинетического равновесия в образовании и аннигиляции точечных дефектов и дислокаций. Для другого варианта прослеживается даже преимущественный ход развития релаксационных процессов. В большей степени рассматриваемая тенденция проявляется (рис. 1,б) в изменении времени жизни позитронов долгоживущей компоненты τ_2 в структуре стали, имеющей высокую плотность двойных и тройных вакансий, вакансационных групп, мелких пор. Время жизни позитронов τ_2 в данном случае заметно снижается. На рассматриваемом

этапе температурных превращений полностью заканчивается переход перлитной структуры в аустенитную.

При закалке с температур 1050–1225°C начинается процесс активного насыщения объёма аустенитного зерна углеродом и легирующими элементами. У формирующейся после закалки структуры наблюдается непрерывный рост времени жизни инжектированных в поверхностный слой позитронов и, как основание для этого, увеличивающаяся степень вакансационной, дислокационной и мелкопоровой дефектности. В результате роста количества растворённого углерода и легирующих элементов в аустените возникают благоприятные условия для увеличения концентрации в структуре стали тепловых вакансий. Усиливающийся процесс образования вакансий происходит на эндотермической стадии растворения эвтектических и вторичных карбидов. С достижением равновесия, наступающего при равенстве удельной поверхностной энергии частицы и окружающего твёрдого раствора, процесс образования тепловых вакансий прекращается [2].

При закалке образцов с температур, находящихся в диапазоне 1225–1275°C, среднее время жизни позитронов не изменяется. Нагревание до этих температур приводит почти к полному растворению вторичных карбидов в аустените. Плотность тепловых вакансий в структуре аустенита достигает своего предельного насыщения. Вследствие растворения и измельчения карбидов в аустенитном зерне снижается уровень вакансационной дефектности, формируемой мартенситным превращением. Поэтому, как видно из рис. 1,б, время жизни позитронов, захватываемых вакансиями и дислокациями у образцов, подвергающихся закалке в растворе солей, снижается. Для образцов, закаливаемых на воздухе, время жизни τ_1 возрастает, однако с меньшей интенсивностью, чем в предыдущем температурном интервале.

В последнем случае снижение плотности вакансий микродеформационного происхождения компенсируется образованием в поверхностных и приповерхностных слоях, в первую очередь, оксидов, оксикарбидов, оксинитридов, карбонилов, карбонилгидридов и других комплексов, имеющих высокую степень несовершенства кристаллической решётки. Получению указанных соединений на поверхности способствуют высокая изначальная температура, наличие открытой атмосферы и значительная каталитическая активность пленок соляных расплавов. Время жизни позитронов для долгоживущей компоненты, обусловленной наличием в структуре стали высокой плотности вакансационных комплексов и пор, как видим из рис. 1,б, для обоих типов образцов снижается. Из характера рассматриваемой зависимости также, следует, что уровень времени жизни позитронов для образцов, закаливаемых в воздушной среде, выше. В некоторой степени, это связано с дополнительным насыщением аустенита поверхности атомами окружающей газовой среды и формированием в процессе мартенситного превращения структуры с большей искаженностью кристаллической решётки и большим удельным весом вакансационных скоплений и пор. Однако более вероятным объяснением рассматриваемого факта следует считать неравномерную интенсивность охлаждения на воздухе по сравнению с охлаждением в соляной ванне и получением вследствие этого мартенситной структуры с большим разбросом степени мелкопоровой дефектности.

Отпуск является важнейшей составляющей частью термической обработки инструментальной стали, выполняемой после закалки. При отпуске происходит выделение карбидов из мартенсита, превращение аустенита в α -твердый раствор и карбиды, обособление карбидов, образование карбидных колоний, перераспределение микронапряжений между фазами. Отпуск проводится при температуре 540–580°C в течение нескольких циклов. Продолжительность одного цикла составляет 40–60 мин. Очередной цикл возобновляется при снижении температуры в процессе охлаждения на воздухе до 20°C.

На рис. 2 показано изменение времени жизни позитронов в зависимости от количества проведенных отпусков для образцов стали Р6М5, закаленных после нагрева до 1225 и 1275°C. Среднее время жизни позитронов является обобщающей характеристикой дефектности структуры и, как показано на рис. 2,а, имеет тенденцию к снижению для обоих вариантов операций термообработки. У образцов, закаленных с температурой 1225°C, среднее время жизни снижается равномерно и непрерывно после каждого последующего проведенного цикла. Изменение среднего времени жизни позитрона у образцов, закаленных от температуры 1275°C, имеет свои особенности. Так, первый отпуск сопровождается более интенсивным снижением среднего времени, а после второго, наоборот, наблюдается некоторое увеличение этого параметра. Такое изменение рассматриваемых зависимостей в результате отпускных операций определяется исходным состоянием мартенсит-

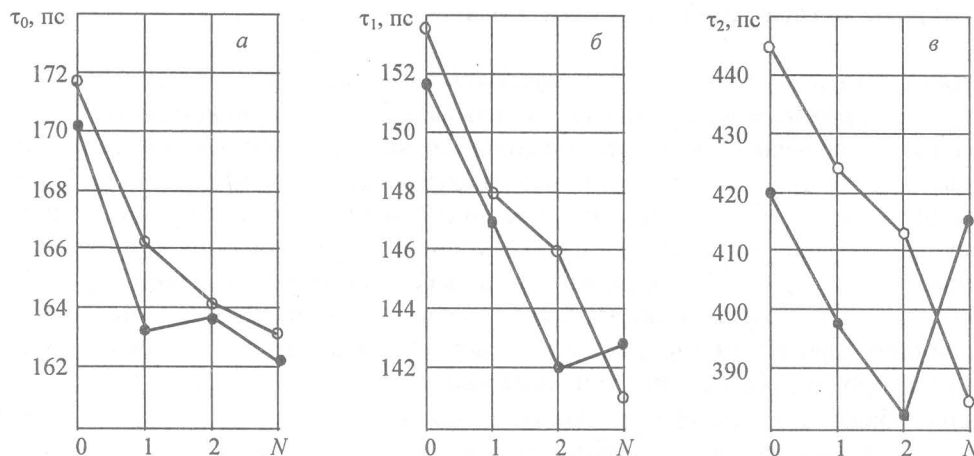


Рис. 2. Изменение времени жизни позитронов в зависимости от количества проводимых отпусков N (сталь Р6М5): a – среднее время жизни τ_0 ; b – время жизни позитронов при аннигиляции на вакансиях и дислокациях τ_1 ; позитроны при аннигиляции; c – время жизни аннигиляции на вакационных комплексах и мелких порах τ_2 . ○ – отпуск образцов, закаленных при 1225°C ; ● – отпуск образцов, закаленных при 1275°C

ных структур, сформировавшихся после закалки . У быстрорежущей стали, закаленной с 1225°C , интегральный уровень внутренних напряжений выше по сравнению с закалкой с 1275°C . Образцы, закаленные с 1225°C , содержат меньшее в процентном отношении количество непревращенного аустенита, имеющего более низкий удельный объем по сравнению со второй фазой – мартенситом. Различное соотношение между фазами объясняется следующим образом. Количественное содержание непревращенного аустенита в закаленной стали зависит от исходной насыщенности аустенитного зерна углеродом и легирующими элементами. С увеличением степени насыщения количество непревращенного аустенита в структуре увеличивается. Степень насыщения определяется температурой нагрева под закалку и с увеличением последней возрастает. В процессе первого отпуска у быстрорежущей стали происходит выделение диффузионным путем карбидов из остаточного аустенита, выделение карбидов и легирующих элементов из мартенситной матрицы, обособление карбидов, превращение аустенита в мартенсит.

Движущей силой рассматриваемых превращений является высокое исходное термодинамически неравновесное состояние системы. У образцов, закаленных с различных температур, последовательность и интенсивность рассмотренных выше процессов, вызываемых отпуском, будет заметным образом различаться. Причем превращения в каждой структуре будут сопровождаться своими особенностями генерирования и аннигиляции точечных дефектов, дислокаций, мелких пор. Эти особенности несомненным образом отразятся на интенсивности увеличения или снижения времени жизни термализованных позитронов. При отпуске образцов, закаленных с 1225°C , вначале будет происходить выделение карбидов из аустенита, обособление карбидов, выделение карбидов из мартенсита, образование карбидных колоний, превращение остаточного аустенита в мартенсит. Отпуск образцов, закаленных с 1275°C , будет включать в себя следующие этапы. Выделение карбидов из мартенсита, обособление карбидов, слабое на первых этапах выделение карбидов из аустенита, частичное превращение остаточного аустенита в мартенсит. Удельный вес процессов, сопровождающих снижение концентрации структурных дефектов при отпуске образцов, будет преобладать у обоих вариантов. Однако уровень снижения дефектности стали, закаленной с 1275°C , после первого отпуска будет значительно, а среднее время жизни позитронов, как видно из рис. 2, a , меньше.

Из анализа зависимостей, представленных на рис. 2, b , можно сделать вывод, что время жизни позитронов для короткоживущих компонент отличается не сильно. Это свидетельствует примерно об одинаковой суммарной концентрации моновакансий в структуре обоих вариантов образцов. Степень концентрации вакационных объединений и групп в структуре образцов первого варианта выше, о чем свидетельствует, как видно из рис. 2, c , и большее время жизни позитронов для долгоживущей компоненты. Вероятно, это можно объяснить относительно большим количеством выделившихся, в результате первого отпуска, карбидов и образованием, вследствие этого, в структу-

ре стали вакансационных комплексов, в том числе двойных, тройных и т.д. вакансий и их объединений. Как видно из рис. 2,*a*, после второго отпуска у образцов первого варианта, закаленных с 1225°C, темп снижения среднего времени жизни позитронов несколько замедляется. Это объясняется в первую очередь увеличением дефектности структуры, образующейся вследствие превращения остаточного аустенита в мартенсит. Тенденция снижения проявляется в одинаковой мере для коротко- и долгоживущей компонент. Пропорциональное замедление времени жизни для обеих компонент указывает на продолжение качественного характера процессов, получивших развитие после первого отпуска.

Среднее время жизни позитронов для образцов, закаленных с 1275°C, после второго отпуска несколько возрастает. Вероятно, это связано с началом формирования в структуре крупных вакансационных комплексов и мелких пор. Подтверждение сказанному следует из рис. 2,*c*, где отмечается небольшое снижение темпа уменьшения времени жизни τ_2 . При этом время жизни короткоживущей компоненты τ_1 , как видно из рис. 2,*b*, непрерывно снижается, начиная с первого отпуска, что можно интерпретировать как уменьшение концентрации одиночных вакансий за счет их объединения в комплексы. Реакции объединения дефектов сопровождаются снижением внутренней энергии кристалла.

Проведение третьего отпуска для образцов стали первого варианта существенно не приводит к качественным изменениям характера внутренних превращений. Продолжилась тенденция, как следует из рис. 2,*a*, в замедлении снижения темпа среднего времени жизни. Однако для τ_1 и τ_2 , наоборот, наблюдается резкое снижение их значений. На этом этапе выполнение отпускных операций, снижение общей степени дефектности, вероятно, происходит за счет аннигиляции вакансий на стоках, которыми являются краевые дислокации. Поверхностью и приповерхностными слоями быстрорежущей стали достигается при этом минимально допустимый уровень дефектности и напряжений между фазами, который все же обеспечивает формуостойчивость и прочность режущего клина при действии высоких контактных напряжений. Среднее время жизни позитронов для второго варианта образцов после проведения третьего отпуска так же снизилось, как и для образцов первого варианта (это следует из рис. 2,*a*).

Время жизни термализованных позитронов для коротко- и, особенно, для долгоживущей компоненты, как видно из рис. 2, *b* и *c*, возросло. Одной из причин рассматриваемого события являются интенсивно протекающие процессы дисперсионного твердения. Дисперсионное твердение особенно заметно проходит у сталей, подвергнутых закалке с более высоких температур, достаточная выдержка при которых обеспечивает наиболее полное насыщение аустенитного зерна углеродом и легирующими элементами. Выделяющиеся при старении в процессе отпуска стали, карбиды, с одной стороны, значительно блокируют дислокации, упрочняют структуру, уменьшают напряженное состояние в мартенсите, и тем самым снижают степень дефектности и время жизни позитронов. С другой стороны, на некотором этапе проведения серии отпусков обособление, объединение карбидов в группы, образование сложных карбидных соединений приводит к значительному увеличению уровня дефектности стали и, соответственно, к повышению времени жизни термализованных позитронов. Центрами захвата позитронов в данном случае являются вакансии, скопление вакансационных дефектов, дислокации, мелкие поры. Структура поверхности и приповерхностных слоев в быстрорежущей стали после трехкратного отпуска характеризуется высоким уровнем напряженного состояния между фазами, повышенной степенью вакансационной дефектности и достаточно существенной вязкостью, что позволяет использовать такой инструментальный материал при резании в условиях активного проявления адгезионного схватывания [3].

Износстойкость материала режущего инструмента в значительной мере зависит от свойств, которые он приобретает после термической обработки. Основными из них являются: высокие твердость, теплостойкость, упругость.

Твердость зависит от энергетического состояния кристаллической решетки мартенсита, от степени ее напряженности. Чем больше углерода растворяется в аустените, тем выше плотность дислокаций в решетке и степень ее тетрагональности, а следовательно, и твердость. С увеличением в составе мартенсита и выделившихся при старении карбидов легирующих элементов, и, в первую очередь, вольфрама, молибдена, хрома, ванадия, возрастает другая важнейшая характеристика инструментального материала – теплостойкость. Эффективный рост упругости быстрорежущей стали происходит при выделении в процессе отпуска из мартенсита достаточного количе-

ства и необходимой степени дисперсности карбидов и интерметаллидов. Как показывает опыт, только после оптимального выполнения режимов термической обработки происходит наиболее приемлемое сочетание важных физико-механических свойств для инструментальной стали, которые обеспечивают высокие эксплуатационные характеристики.

Сопротивление пластическим деформациям при высоких температурах зависит от наличия в составе стали теплостойких, коррозионно-стойких и жаропрочных легирующих элементов и соединений, а также рационального их распределения между мартенситной решеткой и выделившимися карбидами. Немаловажное значение для износостойкости режущих инструментов имеет распределение легирующих элементов и углерода в мартенситном зерне. От этого зависят уровень взаимодействия атомов в твердом растворе и степень теплостойкости мартенсита. Кроме того, с ним связаны свойства выделяющихся карбидов, в том числе стехиометрический состав, особенности морфологического строения и степень связанности с мартенситной матрицей, которые влияют на твердость, теплостойкость и каталитические свойства. Именно от сочетания этих показателей зависят химическая стабильность и модуль упругости инструментальной стали, степень ее сопротивляемости термоциклическим и динамическим нагрузкам в условиях активного адгезионного и диффузионного взаимодействия с обрабатываемым в процессе резания материалом [3].

На величину и характер механизма износа режущего клина существенное влияние, на наш взгляд, оказывает также соотношение между модулем упругости отдельных фаз – мартенситной и карбидной, распределение и топография упругих зон на контактной рабочей поверхности. Все структурные превращения в стали сопровождаются процессами диффузии, теплообмена, электропереноса, перераспределением напряжений и связаны с генерацией или аннигиляцией вакансий и их объединений. С помощью метода аннигиляции позитронов представляется возможным прогнозировать и идентифицировать вероятные структурные изменения и давать оценку уровню этих твердофазных превращений. Нами была установлена корреляционная связь между средним уровнем жизни позитронов и износостойкостью термически обработанных режущих инструментов – сверл.

При этом теснота корреляционной связи существенно зависит от режимов термической обработки режущих инструментов, свойств обрабатываемого материала и условий, в которых осуществляется процесс сверления материалов. Это обусловлено действием различных механизмов износа. Режим термической обработки, который предопределяет особенности строения и физико-механические свойства инструментального материала, по существу формирует структуру, способную в большей или меньшей мере противодействовать одному или группе превалирующих видов разрушения режущего клина. Так, при сверлении конструкционной стали 45 износостойкость возрастает при увеличении температуры закалки сверл от 1225 до 1275°C. Это, соответственно, связано с увеличением количества растворенных легирующих элементов в аустените, повышением степени вакансационной дефектности и возрастанием среднего времени жизни термализованных позитронов. Сверление хромо-никелевой стали, наоборот, сопровождается увеличением износостойкости при снижении температуры закалки сверл с 1275 до 1225°C. Отпуск проводился при температуре 575°C в течение трех циклов по 40 минут. Есть основания предположить, что при других температурах и продолжительности отпуска будет наблюдаться иная закономерность в корреляционной связи между временем жизни позитронов и показателем износостойкости сверл.

Было установлено, что при сверлении глухих отверстий в конструкционной стали инструментом, закаленным с 1225°C, износ уменьшается в соответствии с увеличением количества проведенных отпусков, начиная с первого. Между изменением среднего времени жизни τ_0 и износостойкостью, в данном случае, существует некоторая корреляционная связь. При сверлении отверстий сверлами, закаленными с 1275°C, также между τ_0 и изменением величины износа прослеживается корреляционная зависимость. После третьего отпуска у партии, подвергаемых испытанию сверл в соответствии с τ_1 , наблюдается увеличение износа по задней поверхности. Применение смазывающе-охлаждающей жидкости (СОЖ) изменяет характер корреляционной связи, наметившейся в последнем случае. После третьего отпуска у сверл, закаленных с 1275°C, так же как и у сверл, закаленных с 1225°C, наблюдается некоторое снижение интенсивности износа, что коррелирует с изменением τ_0 . При сверлении сквозных отверстий инструментом, закаленным с 1225 и 1275°C, прослеживается корреляционная связь между износостойкостью и долгоживущей компонентой τ_2 . После третьего отпуска, в соответствии с увеличением τ_2 , установлено также значительное увеличение интенсивности износа. Причем при обработке сверлами, закаленными с

1275°C, наблюдается более высокая степень тесноты корреляционной связи, по сравнению с закалкой от 1225°C. Кинетика износа сверл, закаленных с 1225°C, при резании хромоникелевой стали X18H10T тесно коррелирует со средним временем жизни позитронов, изменяющимся в зависимости от количества проведенных отпусков. Причем такая же связь, но со значительно меньшей степенью тесноты наблюдается между τ_0 и величиной износа для сверл, закаленных с 1275°C. При сверлении стали X18H10T, в условиях охлаждения, между износостойкостью и временем жизни устанавливается корреляционная связь наподобие связи между τ_1 и N для зависимости 1 (рис. 2,б). Сверление сквозных отверстий сверлами, закаленными с 1275°C, сопровождается установлением корреляционной связи, соответствующей $\tau_2 - N$ для зависимости 2 (рис. 2,в).

Из анализа рассмотренного материала следует, что метод аннигиляции позитронов является эффективным инструментом для исследования структуры быстрорежущей стали. Время жизни позитронов определяется важнейшими свойствами и состоянием химических связей между отдельными структурными элементами [4]. Это, в свою очередь, предопределяет возможные механизмы разрушения материала, которые в значительной мере трансформируются при наложении специфических внешних условий. В соответствии с изложенным, уже на этапах термической обработки намечается, а затем, в процессе эксплуатации сверла, формируется корреляционная связь между параметрами времени жизни позитронов и износостойкостью. При этом, программу по обработке спектра времени жизни позитронов необходимо разрабатывать с учетом влияния отдельных групп дефектов вакансационного типа на проявление того или иного механизма изнашивания. Другими словами, разделение времени жизни на компоненты для качественно и количественно отличающихся дефектов позволит с большей степенью прогнозировать износ режущих инструментов, наиболее адекватно устанавливать связи между параметрами структуры и износостойкости.

Выводы

1. Установлена корреляционная связь различной степени тесноты между временем жизни термализованных позитронов в структуре режущего инструмента из быстрорежущей стали и его износостойкостью при обработке различных материалов.

2. В конкретных условиях резания износостойкость режущего инструмента определяется наличием и количеством определенной качественной группы дефектов: одиночных, двойных или тройных и т.д. вакансий, которые в наибольшей степени устанавливают характер и механизм разрушения.

3. Кинетика износа зависит от количественного распределения вакансационных дефектов в структуре по группам и определяется распределением электронной плотности на поверхности и в приповерхностных слоях материала режущего инструмента.

СПИСОК ЛИТЕРАТУРЫ

1. Геллер Ю. А. Инструментальные стали. – М.: Металлургия, 1983. – 528 с.
2. Нестехиометрические соединения / Под ред. Л.Манделькорна. – М.: Химия, 1971. – 607 с.
3. Трент Е. М. Резание металлов. – М.: Машиностроение, 1980. – 262 с.
4. Избранные методы исследований в металловедении /Под ред. Г.Й.Хунгера. – М.: Металлургия, 1985. – 416 с.